

Description d'une nouvelle espèce de *Tibia*

(Gastropoda: Strombidae)

Ralph DUCHAMPS.
Av. Mozart, 52, B 1190 Bruxelles, BelgiqueKEY-WORDS : Mollusca, Gastropoda, Strombidae, *Tibia (Rimellopsis)* Indo-Pacific new species, *laurenti*.ABSTRACT : *Tibia (Rimellopsis) laurenti*, new sp. from the Indo-Pacific region is described on the basis of conchological characters.RÉSUMÉ : *Tibia (Rimellopsis) laurenti*, nov. sp. de la région Indo-Pacifique est décrite sur base de caractères conchyliologiques.

INTRODUCTION

L'étude du matériel provenant de différents dragages effectués par le Muséum National d'Histoire Naturelle de Paris, en différents points de l'Indo-Pacifique, celui recueilli par M. Roger MARTIN au large de Cebu et de Bohol (Philippines), (matériel légué au Zoölogisch Museum, Universiteit van Amsterdam) ainsi que le matériel de l'auteur, provenant de dragages effectués au large de l'île de Balicasag (Bohol, Philippines) a conduit à la description d'une nouvelle espèce de *Tibia*.

Celle-ci est comparée à *Tibia (Rimellopsis) powisi* (Petit de la Saussaye, 1840) dont le matériel provient des trois sources précitées ainsi que de l'Institut Royal des Sciences Naturelles de Belgique.

ABREVIATIONS UTILISEES

M.N.H.N. : Muséum National d'Histoire Naturelle, Paris
Z.M.A. : Zoölogisch Museum _ Universiteit van Amsterdam
I.R.Sc.N.B. : Institut Royal des Sciences Naturelles de Belgique
R.D. : Collection de l'auteur
C.H. : Chalut
C.P. : Chalut à perche
D.W. : drague à roches
N.O. : navire océanographique
Alis : nom du navire
Coriolis : nom du navire
J. Charcot : nom du navire
Vauban : nom du navire
BIOCAL : nom de l'expédition
CORINDON : nom de l'expédition
MUSORSTOM : nom de l'expédition

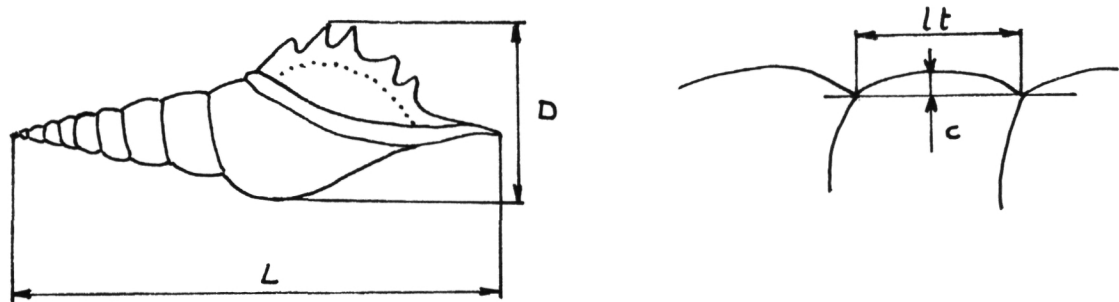


Fig. 1. L : Longueur totale; D : Diamètre maximum; c : convexité; lt: longueur d'un tour

METHODE

L'observation du matériel a conduit à constater une série de différences conchyliologiques stables, permettant de séparer en deux groupes homogènes l'ensemble des *Tibia* examinés. Les différences (au nombre de 6) ont fait l'objet d'une confirmation par un caractère morphométrique significatif à plus de 99%.

MATERIEL EXAMINE

La liste reprend le numéro du spécimen, le nom de l'espèce, l'origine du matériel et les mesures effectuées, (en succession : c/lt, L, D, voir figure 1 ci-dessus).

Tibia powisi (Petit de la Saussaye, 1840)

- 1. *T. powisi*, R.D. 09-935/1, Philippines, 0,153; 37,7; 13,2.
- 2. *T. powisi*, R.D. 09-935/2, dragué au large de Chiating, Taïwan. 0,131; 38,3; 12,2.
- 3. *T. powisi*, R.D. 09-935/3, Cebu, Philippines, 0,140; 60,7; 18,6.
- 4. *T. powisi*, R.D. 09-935/4, Taïwan, 0,155; 56,1; 17,0.
- 0. *T. powisi*, M.N.H.N. Holotype, Mer de Chine, 0,125; 54; 17,5.

- 28. *T. powisi*, Z.M.A., Leg. Roger MARTIN, Détrict de Bohol, 250m., 0,134; 42,4; 13,5.
- 29. *T. powisi*, Z.M.A., Leg. Roger MARTIN, Détrict de Bohol, 250m., 0,155; 32,7; 13,0.
- 35. *T. powisi*, Z.M.A., Leg. Roger MARTIN, Détrict de Bohol, 250m., 0,132; 42,9; 14,5.
- 36. *T. powisi*, Z.M.A., Leg. Roger MARTIN, Détrict de Bohol, 250m., 0,125; 51,6; 15,6.
- 37. *T. powisi*, Z.M.A., Leg. Roger MARTIN, Détrict de Bohol, 250m., 0,120; 50,5; 14,7.
- 38. *T. powisi*, Z.M.A., Leg. Roger MARTIN, Détrict de Bohol, 250m., 0,121; 50,1; 14,5.
- 39. *T. powisi*, Z.M.A., Leg. Roger MARTIN, Détrict de Bohol, 250m., 0,141; 54,6; 14,7.
- 40. *T. powisi*, Z.M.A., Leg. Roger MARTIN, Détrict de Bohol, 250m., 0,150; 46,4; 14,0.
- 41. *T. powisi*, Z.M.A., Leg. Roger MARTIN, Détrict de Bohol, 250m., 0,161; 43,1; 13,5.
- 42. *T. powisi*, Z.M.A., Leg. Roger MARTIN, Détrict de Bohol, 250m., 0,147; 60,0; 18,5.
- 43. *T. powisi*, Z.M.A., Leg. Roger MARTIN, Détrict de Bohol, 250m., 0,128; 51,0; 14,4.
- 44. *T. powisi*, Z.M.A., Leg. Roger MARTIN, Détrict de Bohol, 250m., 0,122; 57,9; 18,4.
- 45. *T. powisi*, Z.M.A., Leg. Roger MARTIN, Détrict de Bohol, 250m., 0,159; 43,6; 14,7.
- 46. *T. powisi*, Z.M.A., Leg. Roger MARTIN, Détrict de Bohol, 250m., 0,148; 57,4; 17,1.

- 47. *T. powisi*, Z.M.A., Leg. Roger MARTIN, Détroit de Bohol, 250m., 0,138; 44,2; 14,2.
- 32. *T. powisi*, Z.M.A., Ex coll. M.I. GERHARDT, dragué à Taïwan, 0,164; 57,8; 20,8.
- 33. *T. powisi*, Z.M.A., Ex coll. M.I. GERHARDT, dragué à Taïwan, 0,147; 61,1; 18,7.
- 30. *T. powisi*, Z.M.A., Siboga Exp., holotype de *T. powisi var. abyssicola* (Schepman, 1909), Indonésie, St.139, 397m., 0°11'S -127°25'E, 0,081; 37,0; 13,2.
- 31. *T. powisi*, Z.M.A., Siboga Exp., paratype de *T. powisi var. abyssicola*, Indonésie, St.139, 397m., 0°11'S -127°25'E, 0,095; 32,9; 11,0.
- 48. *T. powisi*, I.R.Sc.N.B. Coll. Gén. I.G. 3139, Mer de Chine, 0,142; 56,6; 19,9.
- 49. *T. powisi*, I.R.Sc.N.B. Coll. Ph. DAUTZENBERG I.G. 10591, Iles Andaman, 0,161; 52,9; 17,2.
- 50. *T. powisi*, I.R.Sc.N.B. Coll. Ph. DAUTZENBERG I.G. 10591, Nouvelles Hébrides, Coll. RUSSITER, 0,140; 43,4; 16,5.
- 51. *T. powisi*, I.R.Sc.N.B. Coll. Ph. DAUTZENBERG I.G. 10591, Nouvelles Hébrides, Coll. RUSSITER, 0,137; 41,0; 18,0.
- 52. *T. powisi*, I.R.Sc.N.B. Leg. H. SAESEN-DEBEUCKELAERE I.G. 26735, Indo-Pacifique, 0,158; 44,1; 13,9.
- 53. *T. powisi*, I.R.Sc.N.B. Leg. H. SAESEN-DEBEUCKELAERE I.G. 26735, Indo-Pacifique, 0,136; 46,7; 13,7.
- 54. *T. powisi*, I.R.Sc.N.B. Leg. H. SAESEN-DEBEUCKELAERE I.G. 26735, Indo-Pacifique, 0,145; 60,6; 19,2.
- Tibia laurenti* n.sp.
- 5. *T. laurenti*, R.D. 09-936/1, Balicasag, Bohol, Philippines, dragué 180-200m, 0,102; 36,6; 13,9.
- 6. *T. laurenti*, R.D. 09-936/2, Balicasag, Bohol, Philippines, dragué 180-200m, 0,99; 41,8; 13,3. paratype 7.
- 7. *T. laurenti*, R.D. 09-936/3, Balicasag, Bohol, Philippines, dragué 180-200m, 0,98; 39,8; 12,3. paratype 9.
- 8. *T. laurenti*, R.D. 09-936/4, Balicasag, Bohol, Philippines, dragué 180-200m, 0,097; 37,8; 13,5.
- 9. *T. laurenti*, R.D. 09-936/5, Balicasag, Bohol, Philippines, dragué 180-200m, 0,105; 39,5; 13,5. paratype 5.
- 10. *T. laurenti*, R.D. 09-936/6, Balicasag, Bohol, Philippines, dragué 180-200m, 0,099; 41,0; 14,0.
- 11. *T. laurenti*, R.D. 09-936/7, Balicasag, Bohol, Philippines, dragué 180-200m, 0,099; 40,2; 14,0.
- 16. *T. laurenti*, M.N.H.N., CORINDON, St. CH 206, Détroit de Makassar, Indonésie, 01°06'S -117°45'E, 85m., 0,098; 32,2; 10,1. (juvénile).
- 17. *T. laurenti*, M.N.H.N., CORINDON, St. CH 206, Détroit de Makassar, Indonésie, 01°06'S -117°45'E, 85m., 0,098; 32,2; 10,1. (juvénile, labre non formé).
- 18. *T. laurenti*, M.N.H.N., CORINDON, St. CH 206, Détroit de Makassar, Indonésie, 01°06'S -117°45'E, 85m., 0,083; 36,9 14,4.
- 19. *T. laurenti*, M.N.H.N., CORINDON, St. CH 206, Détroit de Makassar, Indonésie, 01°06'S -117°45'E, 85m., 0,094; 46,7; 16,9.
- 62. *T. laurenti*, M.N.H.N., MUSORSTOM 2, St. C.P. 47, Philippines, 13°33'N- 122°10'E, 81-84m., 0,098; 37,9; 12,3.
- 71. *T. laurenti*, M.N.H.N., dragages par le N.O. *Coriolis* MUSORSTOM 3, St.C.P. 107, Philippines, 14°02'N- 120°28'E, 111-115m., 0,105; 46,6; 13,9. (juvénile, bord du labre incomplètement formé).
- 69. *T. laurenti*, M.N.H.N., dragages par le N.O. *Coriolis* MUSORSTOM 3 St.C.P. 124, Philippines, 12°02'N- 121°35'E, 120-123m., 0,101; 43,5; 12,0. (dernier tour abîmé).
- 65. *T. laurenti*, M.N.H.N., dragages par le N.O. *Coriolis* MUSORSTOM 3, St.C.P.131, Philippines, 11°37'N- 121°43'E, 120-122m., 0,092; 30,7; 9,2. (juvénile, bord du labre absent).

- 12. *T. laurenti*, M.N.H.N. dragages par le N.O. *Vauban*, St.8, Nouvelle Calédonie, 22°19'S -167°10'E, 220-230m, 0,106; 32,3; 10,5. (bord ébréché).
- 13. *T. laurenti*, M.N.H.N., dragages par le N.O. *Vauban*, St.8, Nouvelle Calédonie, 22°19'S -167°10'E, 220-230m, 0,126; 42,3; 12,9. paratype 1.
- 14. *T. laurenti*, M.N.H.N., dragages par le N.O. *Vauban*, St.8 . Nouvelle Calédonie, 22°19'S -167°10'E, 220-230m, 0,103; 43,5; 13,8. holotype.
- 15. *T. laurenti*, M.N.H.N., dragages par le N.O. *Vauban*, St.8 . Nouvelle Calédonie, 22°19'S -167°10'E, 220-230m, 0,127; 46,5; 13,1. paratype 2.
- 64. *T. laurenti*, M.N.H.N., dragages par le N.O. *Jean-Charcot* BIOCAL, St. C.P. 110, Nouvelle Calédonie, 22°13'S- 167°08'E, 275-320m., 0,092; 38,7; 11,0. (juvénile, bord du labre absent).
- 66. *T. laurenti*, M.N.H.N. Sud Nouvelle Calédonie, 22°40'S à 22°50'S et 167°10'E à 167°30'E, 200-350m., 0,107; 23,3; 8,0. (juvénile, bord du labre absent).
- 70. *T. laurenti*, M.N.H.N., dragages par le N.O. *Alis* MUSORSTOM 6, St.D.W.439, Ride des Loyauté, 20°46'S- 167°17'E, 288m., 0,089; 44,8; 17,2. paratype 6.
- 55. *T. laurenti*, M.N.H.N., dragages par le N.O. *Alis* MUSORSTOM 6, St. D.W. 443, Ride des Loyauté, 20°53'S- 167°17'E, 250m., 0,096; 43,2; 18,4.
- 67. *T. laurenti*, M.N.H.N., dragages par le N.O. *Alis* MUSORSTOM 6, St.D.W.444, Ride des Loyauté, 20°54'S- 167°18'E, 300m.,0,073; 19,9; 7,0. (juvénile, bord du labre absent).
- 68. *T. laurenti*, M.N.H.N., dragages par le N.O. *Alis* MUSORSTOM 6, St.D.W.444, Ride des Loyauté, 20°54'S- 167°18'E, 300m.,0,103; 30,9; 9,3. (juvénile, bord du labre absent).
- 56. *T. laurenti*, M.N.H.N., dragages par le N.O. *Alis* MUSORSTOM 6, St. D.W. 449, Ride des Loyauté, 20°54'S-167°18'E, 300m., 0,090; -; -. (absence du dernier tour).
- 63. *T. laurenti*, M.N.H.N., dragages par le N.O. *Alis* MUSORSTOM 6, St. D.W. 453, Ride des Loyauté, 21°00'S- 167°27'E, 250m., 0,089; 36,6; 12,7.
- 60. *T. laurenti*, M.N.H.N., dragages par le N.O. *Alis* MUSORSTOM 6, St. D.W. 456, Ride des Loyauté, 21°01'S- 167°26'E, 240m., 0,101; 43,5; 13,7. (juvénile).
- 61. *T. laurenti*, M.N.H.N., dragages par le N.O. *Alis* MUSORSTOM 6, St. D.W. 456, Ride des Loyauté, 21°01'S- 167°26'E, 240m., 0,078; 37,4; 12,0. (juvénile).
- 57. *T. laurenti*, M.N.H.N., dragages par le N.O. *Alis* MUSORSTOM 6, St. D.W. 462, Ride des Loyauté, 21°05'S-167°27'E, 200m., 0,088; 46,3; 16,3.
- 58. *T. laurenti*, M.N.H.N., dragages par le N.O. *Alis* MUSORSTOM 6, St. D.W. 462, Ride des Loyauté, 21°05'S- 167°27'E, 200m., 0,077; 35,5; 13,7., paratype 4.
- 59. *T. laurenti*, M.N.H.N., dragages par le N.O. *Alis* MUSORSTOM 6, St. D.W. 462, Ride des Loyauté, 21°05'S-167°27'E, 200m., 0,107; 46,4; 17,0. paratype 3.
- 20. *T. laurenti*, Z.M.A., Leg. Roger MARTIN, Détroit de Bohol, 250m., 0,106; 43,0; 14,2. lot de paratypes 8.
- 21. *T. laurenti*, Z.M.A., Leg. Roger MARTIN, Détroit de Bohol, 250m., 0,100; 40,0; 12,9. lot de paratypes 8.
- 22. *T. laurenti*, Z.M.A., Leg. Roger MARTIN, Détroit de Bohol, 250m., 0,097; 41,0; 13,6. lot de paratypes 8.
- 23. *T. laurenti*, Z.M.A., Leg. Roger MARTIN, Détroit de Bohol, 250m., 0,103; 42,7; 13,9. lot de paratypes 8.
- 24. *T. laurenti*, Z.M.A., Leg. Roger MARTIN, Détroit de Bohol, 250m., 0,080; 39,7; 13,4. lot de paratypes 8.
- 25. *T. laurenti*, Z.M.A., Leg. Roger MARTIN, Détroit de Bohol, 250m., 0,090; 37,0; 12,2. lot de paratypes 8.
- 26. *T. laurenti*, Z.M.A., Leg. Roger MARTIN, Détroit de Bohol, 250m., 0,090; 38,5; 11,1. lot de paratypes 8.

- 27. *T. laurenti*, Z.M.A., Leg. Roger MARTIN, Détroit de Bohol, 250m., 0,095; 36,3; 12,5. lot de paratypes 8.

- 34. *T. laurenti*, Z.M.A., Leg. Roger MARTIN, Détroit de Bohol, 250m., 0,094; 46,1; 13,5., lot de paratypes 8.

SYSTEMATIQUE

Genre *Tibia* Röding, 1798.

Sous-Genre *Rimellopsis* M.Lambotte, 1979.

Le sous-genre *Rimellopsis* fut créé par LAMBIOTTE (1979) afin de séparer les espèces du genre *Tibia* en 4 sous-genres :

a) *Tibia fusus* (Linné, 1758) et *insulaechorab* Röding, 1798 : appartiennent au sous-genre *Tibia* qui se caractérise par la présence de petites côtes axiales sur les premiers tours de spire et celle d'une protubérance calleuse au bord pariétal de l'ouverture;

b) *Tibia martini* Marrat, 1877 et *delicatula* Nevill, 1881 : appartiennent au sous-genre *Rostellariella* dont les premiers tours de spire sont dépourvus de petites côtes axiales et où le bord pariétal de l'ouverture ne montre aucune protubérance;

c) *Tibia cancellata* (Lamarck, 1816) et *crispata* Sowerby ii, 1842 : appartiennent au sous-genre *Rimella* dont la sculpture de la spire est fortement treillissée. Le canal siphonal est court ou obsolète, le bord du labre est très épais et denticulé sur toute sa longueur, la face interne du bord pariétal de l'ouverture est fortement ridé.

d) *Tibia powisi* (Petit de la Saussaye, 1840) et *laurenti* n.sp. : appartiennent au sous-genre *Rimellopsis* dont le bord pariétal de l'ouverture ne porte, comme chez *Rostellariella*, aucune protubérance, mais le cal collumellaire, bien appliqué contre la spire comme chez *Tibia*, absent

chez *Rostellariella*, est ici un peu relevé, laissant entre la spire et son bord externe une sorte de mince gouttière. La face interne du bord extérieur de l'ouverture est garnie de granulations plus ou moins allongées, tandis qu'elle est lisse chez *Tibia* et *Rostellariella*.

Tibia laurenti n.sp.

Figs. 3, 5, 6 et 7.

Description

Coquille petite d'une taille maximale de 46,7 mm, fusiforme, de couleur beige. Spire allongée et brillante sur toute sa longueur, acuminée, formée de 1,5 tour de protoconque et 8 à 10 tours de téloconque légèrement convexes. Les 5 derniers tours au moins sont quasiment lisses, seule une trace de cordons spiraux est visible sous lumière rasante. Absence de stries axiales, de ponctuations concaves et de cordon spiral au dessus de la suture. Partie supérieure du dernier tour, en dessous de la suture lisse sur la face ventrale. Ouverture oblongue, prolongée en arrière par une petite gouttière à peine arquée. Bord extérieur épais et garni de granulations sur la face interne. Columelle calleuse montrant une protubérance au bord externe ce qui forme avec le dernier tour un sillon.

Localité type

Nouvelle Calédonie, 22°19'S-167°10'E, 220-230m.

Distribution

La carte (Fig. 12) donne les régions du Pacifique où *T. laurenti* a été recueilli par dragage, de même que l'aire de distribution de *T. powisi*.

Matériel Type

- exemplaire 14 : Holotype M.N.H.N.
- exemplaire 13 : Paratype 1 M.N.H.N.
- exemplaire 15 : Paratype 2 M.N.H.N.
- exemplaire 59 : Paratype 3 A.M.S. n° C169399
- exemplaire 58 : Paratype 4 A.N.S.P.

- exemplaire 9 : Paratype 5 I.R.Sc.N.B. n° 27.847
- exemplaire 70 : Paratype 6 R.D. n° 09.936-8
- exemplaire 6 : Paratype 7 R.D. n° 09.936-2
- lot de 9 exemplaires 20 à 27 et 34 : Paratypes 8 Z.M.A. Moll. n° 3.92.001
- exemplaire 7 : paratype 9 Laurent Duchateau.

Etymologie

Nommé pour Laurent DUCHATEAU; petit fils de l'auteur qui depuis 3 ans s'intéresse à la Malacologie.

Discussion

L'espèce la plus proche de *Tibia laurenti* est *Tibia (Rimellopsis) powisi* (Petit de la Saussaye, 1840) et c'est par rapport à celle-ci que nous établirons la comparaison et la discussion.

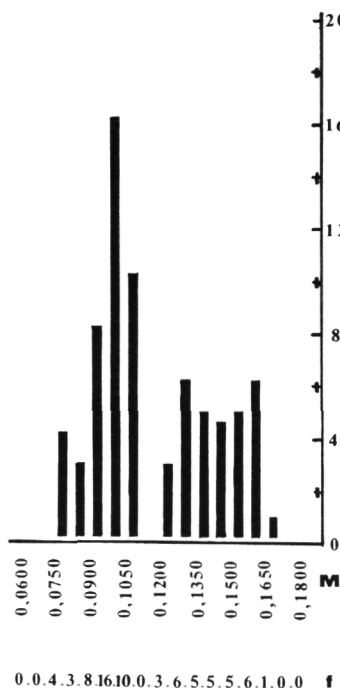
Nous avons consulté des ouvrages généraux tels ABBOTT & DANCE (1983); DANCE (1974) ainsi que des livres décrivant des faunes malacologiques locales telles que HINTON; KIRA (1962); LAI (1987); SPRINGSTEEN & LEO-BRERA (1986) de même que l'ouvrage spécialisé de WALLS (1980); nulle part n'apparaît une description, un dessin ou une photo faisant penser à *Tibia laurenti*.

Pour établir une comparaison morphométrique entre *T. powisi* et *T. laurenti* après observation, nous avons choisi de mesurer la convexité d'un tour de la spire à une distance constante (10 mm) de l'apex, l'ouverture située vers le haut et la spire disposée parallèlement à la platine du binoculaire.

<i>T. powisi</i>	<i>T. laurenti</i>
- Spire 8 à 10 tours de télécoconque.	- Spire 8 à 10 tours de télécoconque.
- Les 5 derniers tours au moins sont ornés de cordons spiraux nettement-apparents. (Figs. 2 & 8)	- Les 5 derniers tours au moins sont quasiment lisses , seule une trace de cordons spiraux est visible sous lumière rasante. (Figs. 3 & 9)
- Dans l'intervalle des cordons spiraux, fines stries axiales donnant une ponctuation concave. (Fig. 2)	- Pas de stries axiales , d'où absence de ponctuations concaves. (Fig. 3)
- Seuls les sommets des cordons spiraux sont brillants ce qui donne un aspect général satiné à la spire.	- La spire est brillante sur toute sa longueur.
- Entre chaque tour, de part et d'autre de la suture, un cordon spiral. (Fig. 8)	- Entre chaque tour, un seul cordon spiral disposé sous la suture. Absence de cordon spiral au dessus de la suture. (Fig. 9)
- Le dernier tour est comme la spire, orné de cordons spiraux nettement apparents sur tout le pourtour. (Fig. 4)	- La partie supérieure du dernier tour en dessous de la suture est lisse sur la face ventrale (Fig. 5)
- Le bord externe de la columelle est très peu ou pas relevé par rapport au dernier tour. (Fig. 10)	- Le bord externe de la columelle est nettement relevé par rapport au dernier tour formant un sillon. (Fig. 11)

Dans la liste du matériel examiné ci-avant nous donnons le rapport "c/l_t" qui représente le coefficient de convexité, la longueur totale de la coquille "L", sa largeur "D", ainsi qu'un certain nombre de remarques.

Dans le groupe de 72 échantillons définis par 1 variable tous ont été analysés, et aucun n'a été exclu. Un histogramme de fréquences a été effectué, en utilisant le programme SPSS/PC.



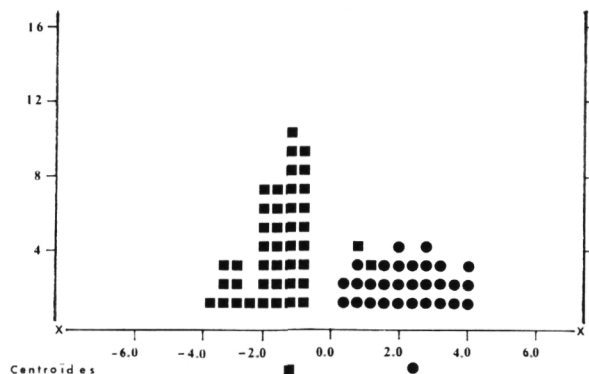
Histogramme des fréquences.

	Groupe 1	Groupe 2
Nombre de données	29	43
Moyenne	0.1419	0.0960
Déviation standard	0.013	0.011
Erreur standard	0.002	0.002

Estimation de la variance (groupés) : valeur F: 1.37; Prob. 2 cas : 0.347; Valeur t: 15.86; Degrés de liberté: 70; Prob. 2 cas: 0.000.

Estimation de la variance (séparés) : Valeur t: 15.38; Degrés de liberté: 53.66; Prob. 2 cas: 0.000.

Une analyse discriminante a été effectuée, en utilisant le programme SPSS/PC.

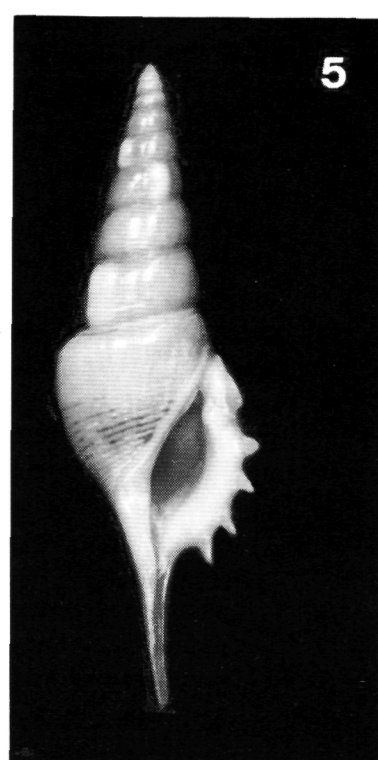
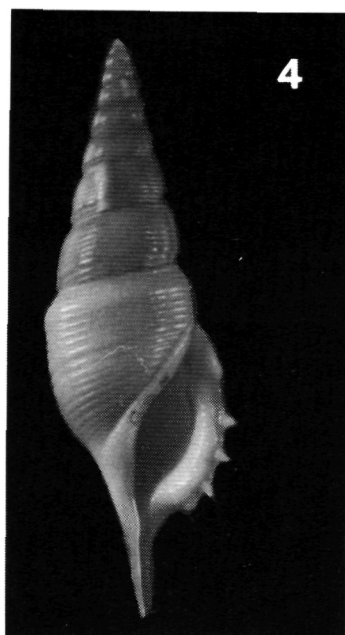
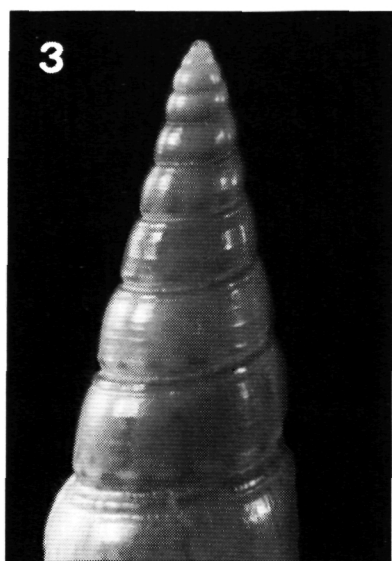
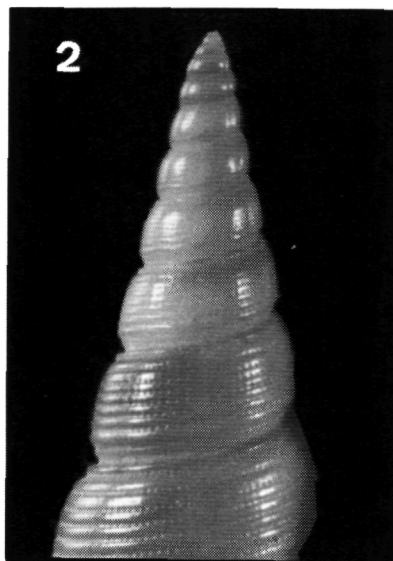


Histogramme pour les groupes 1 & 2 réunis. Discriminant canonique fonction 1. *Tibia laurenti* : carrés noirs; *Tibia powisi* : cercles noirs.

Le niveau de tolérance minimum est de 0,001. Nombre maximum de fonctions: 1. Pourcentage cumulatif minimum de la variance : 100. Signification maximum du lambda de Wilks : 1. Probabilité pour chaque groupe : 0,50.

Le résultat est hautement significatif (supérieur à 99%). L'échantillon utilisé est bien représentatif de la population statistique considérée.

Il ne s'agit pas d'une variété géographique ni d'une forme locale, vu l'aire de distribution (les deux espèces sont sympatriques). Voir la carte de distribution des deux espèces (Fig. 12).



Figures 2 à 5.

Fig. 2 : *Tibia powisi*

Fig. 3 : *Tibia laurenti*, sp.n.

Fig. 4 : *Tibia powisi*

Fig. 5 : *Tibia laurenti*, sp.n.

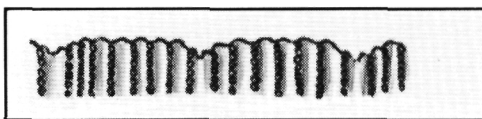
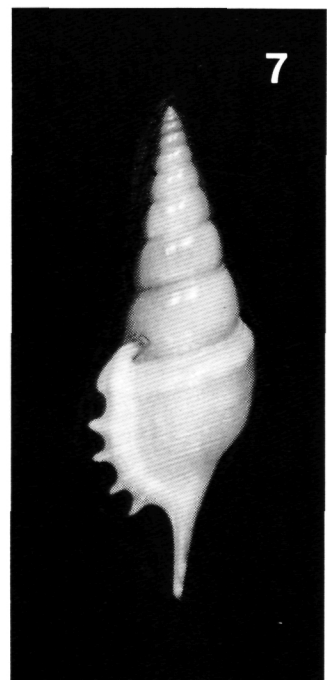
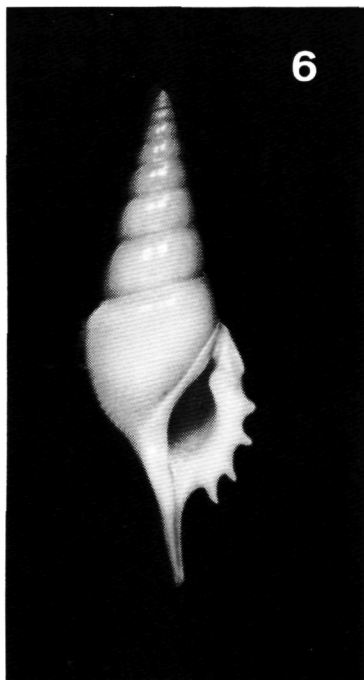


Fig. 8

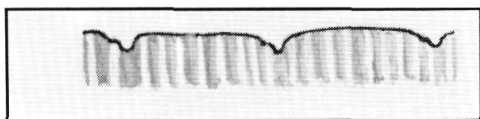


Fig. 9

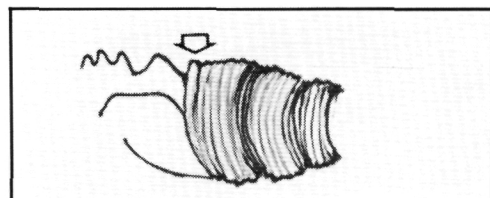


Fig. 10

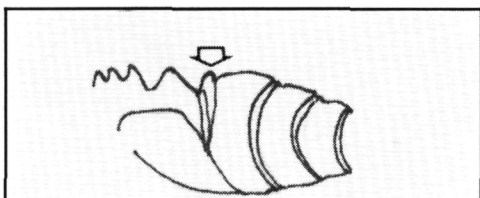


Fig. 11

Figures 6 à 11.

Figs. 6 et 7 : *Tibia laurenti*, sp.n. Holotype.

Fig. 8 : *Tibia powisi*, profil de la spire.

Fig. 9 : *Tibia laurenti*, sp.n., profil de la spire.

Fig. 10 : *Tibia powisi*, partie apicale du péristome, en vue latérale.

Fig. 11 : *Tibia laurenti*, sp.n., partie apicale du péristome, en vue latérale.

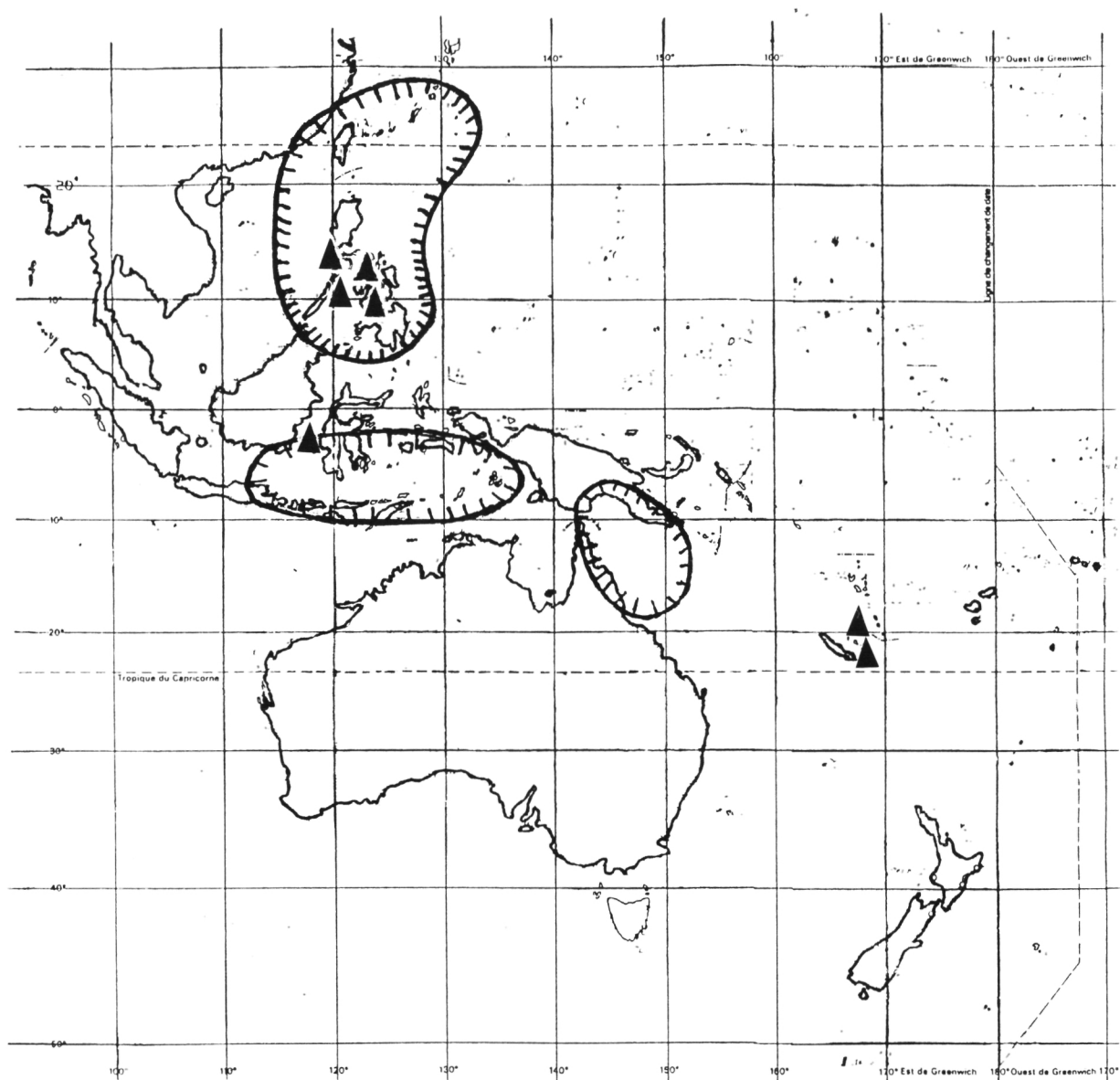


Fig. 12. Carte de distribution. Zone hachurées : *Tibia powisi*. Triangles noirs : *Tibia laurenti*, sp.n.

Nous avons également comparé *T. laurenti* avec 2 variétés de *T. powisi*.

- *T. powisi* var. *abyssicola* (Schepman, 1909).

SCHEPMAN (1909 : 155) définit sa variété comme suit : "This fine shell has much puzzled me; after comparing it carefully with typical specimens, I can see nothing in it but a dwarfed form with obsolete sculpture, probably owing its peculiar character to the considerably greater depth. A young specimen is scarcely different from young ones from Stat. 306. Unfortunately the shells contained nothing but some mud." Le dragage à la Station 306 avait permis de ramener 7 spécimens de *T. powisi* d'une profondeur de 247 m. Les *T. powisi* var. *abyssicola* ont été recueillis à 397 m. Pour mémoire rappelons que les exemplaires de *T. laurenti* ont été dragués à des profondeurs variant entre 81 et 350 m.

L'examen des 2 spécimens de *T. abyssicola* montre que les caractères principaux de *T. powisi* sont présents. Les exemplaires mesurent respectivement 37 et 32,9 mm de longueur, les coquilles sont blanches et minces, les tours de la spire sont presque lisses de même que la face ventrale du dernier tour. Les fines stries axiales et les ponctuations concaves sont présentes. les tests sont mats. Le bord externe de la columelle est très peu relevé par rapport au dernier tour. Comme pour *T. powisi* l'intérieur de l'ouverture est orné de cordons spiraux alors que l'intérieur de l'ouverture de *T. laurenti* est lisse.

- *T. powisi moretonensis* Romagna-Manoja, 1977.

ROMAGNA-MANOJA (1977 : 7) présume la présence le long des côtes de la Grande Barrière de Corail (Queensland, Australie), d'une sous-espèce, ou du moins d'une variété géographique, qu'il nomme *moretonensis* ; la plus grande partie des exemplaires ayant été recueillis au Cap Moreton. La description publiée est la suivante : "Questi sono in effetti molto più

"delicati" nell'aspetto generale : la loro superficie è solcata in modo molto più leggero (meno angoloso) e con solchi più ravvicinati; i primi giri sono inoltre ornati da macchie quadrangolari scure nella zona periferica". Aucune photo ni dessin n'est joint à la description. La surface de la coquille est sculptée d'une manière plus légère, moins anguleuse, avec des sillons plus rapprochés. Les premiers tours sont en outre ornés de taches quadrangulaires foncées, dans la zone périphérique. L'auteur termine en écrivant qu'il y a encore d'autres différences, peut-être moins significatives, qui laissent supposer, sinon l'existence d'une sous-espèce, du moins un procès de différenciation d'une race géographique. Ceci est très différent de la nouvelle espèce décrite dans la présente publication.

Remerciements

Nous adressons nos plus vifs remerciements au Dr. Ph. Bouchet (Muséum National d'Histoire Naturelle, Paris) pour le prêt du matériel d'études, ses conseils et l'utilisation de son laboratoire, à M^{me} V. Heros pour son aide technique, aux Drs. H.E. Coomans et R.G. Moolenbeek (Zoölogisch Museum, Amsterdam) pour le prêt du matériel d'études et l'utilisation de leur laboratoire, à MM. J. Buyle et A. Thielemans pour le prêt de matériel d'études, au Prof. B. Tursch (Université Libre de Bruxelles) pour l'aide et les conseils qu'il a bien voulu nous apporter tout au long de cette étude, pour le matériel et le laboratoire qu'il a bien voulu mettre à notre disposition ainsi que pour ses remarques et suggestions concernant le manuscrit, à M. R. Houart pour ses remarques et suggestions concernant le manuscrit, au Dr. J. Van Goethem (Institut Royal des Sciences Naturelles de Belgique, Bruxelles) pour l'accès aux collections, à la bibliothèque et l'utilisation des laboratoires, à M. A. Lievrouw pour son aide technique.

REFERENCES

ABBOTT, R.T. & DANCE, S.P., 1983 (2^e ed.). Compendium of Seashells. 1-411 p 4200 ill. E.P. Dutton, Inc. New York.

DANCE, S.P., 1974. The Encyclopedia of Shells. 1-288 p. Blandford Press London.

HINTON A. (non daté). Guide to Australian Shells. 1-82 p. 77pl. Robert Brown & Associates Pty. Ltd. Port Moresby, P.N.G.

KIRA, T., 1962. Shells of the Western Pacific in color. Vol. 1: 1-224p. 72pl. Hoikusha Publishing Co., Ltd.Osaka.

LAI, K.Y., 1987. Marine Gastropods of Taiwan, (1) 1-49p. 23pl. Taiwan Museum.

LAMBIOTTE, M., 1979 Le Genre *Tibia* P.F. Röding, 1798 et description d'un nouveau sous-genre : *Rimellopsis* subgen. nov. (Gastropoda : Strombidae). *Informations de la Société Belge de Malacologie*. Série 7(1), janvier 1979.

PETIT de la SAUSSAYE, S., 1840. Description de deux espèces de coquilles nouvelles, appartenant aux genres *Rostellaria* et *Murex*, *Revue Zoologique*, p. 326-327, Paris, 1840.

ROMAGNA-MANOJA, E., 1977. Famiglia Strombidae; Genus *Tibia*, Röding, 1798 Parte IV 3-13p. *La Conchiglia*, IX(95-96), janvier/février 1977.

RÖDING, P.F., 1798. *Museum Boltenianum*. Die Flöthe 123.

SCHEPMAN, M.M. 1909. The Prosobranchia of the Siboga Expedition II, *Taenioglossa* and *Ptenoglossa*. p.154-155, pl. XI et XVI.

SPRINGSTEEN F., & LEOBRERA, F., 1986. Shells of the Philippines. 1-377p. 100pl.

WALLS, J.G., 1980. Conchs, Tibias and Harps. 1-191p., 64pl., 82 cartes. T.F.H. Publications Inc. Ltd. Neptune N.J., 1980.

